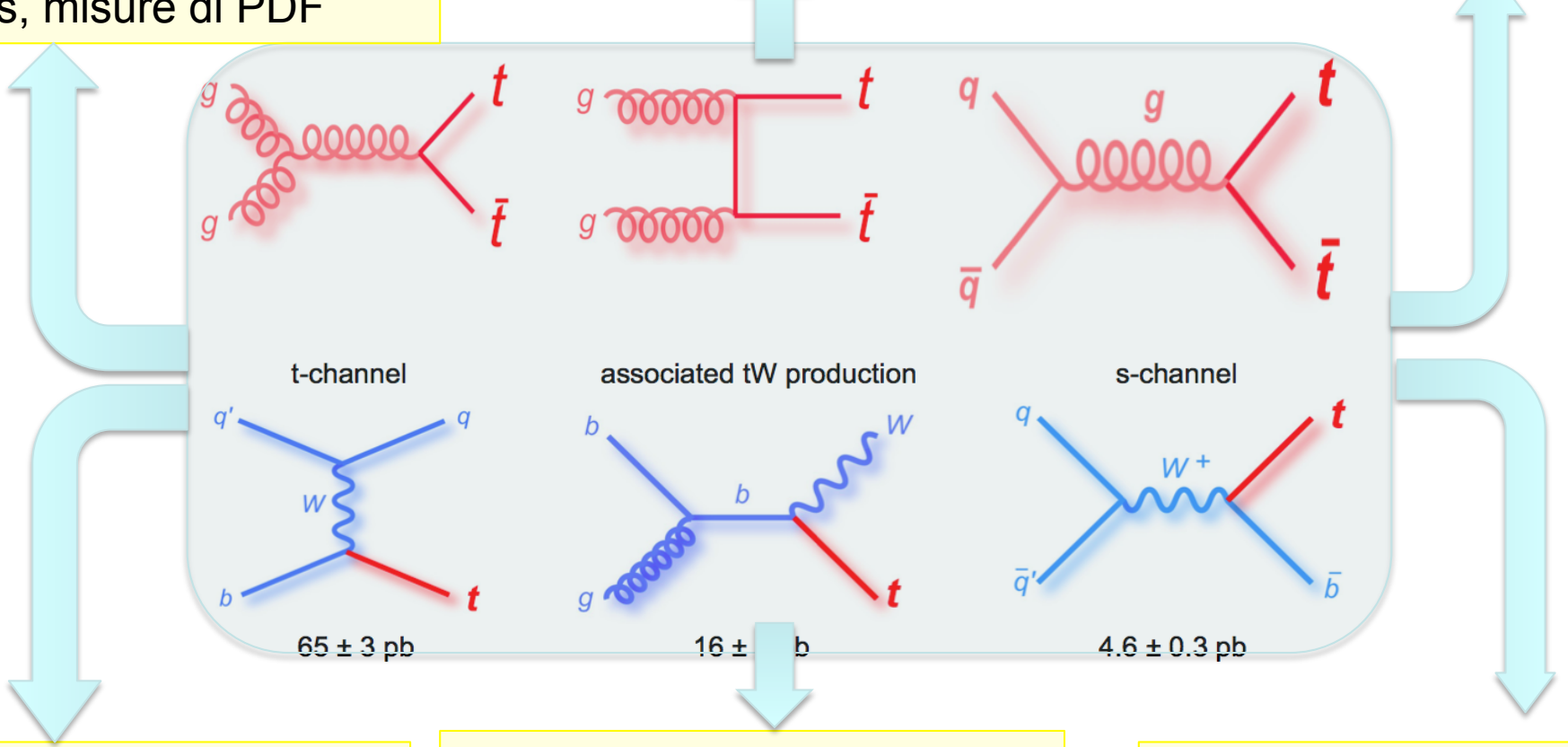


Sezioni d'urto totali e differenziali, Test del meccanismo di produzione (QCD, EWK), produzione tt +jets, misure di PDF Produzione attraverso meccanismi alternativi (Nuova Fisica), produzione associata (ttW, ttZ, ttH, tt+MET)

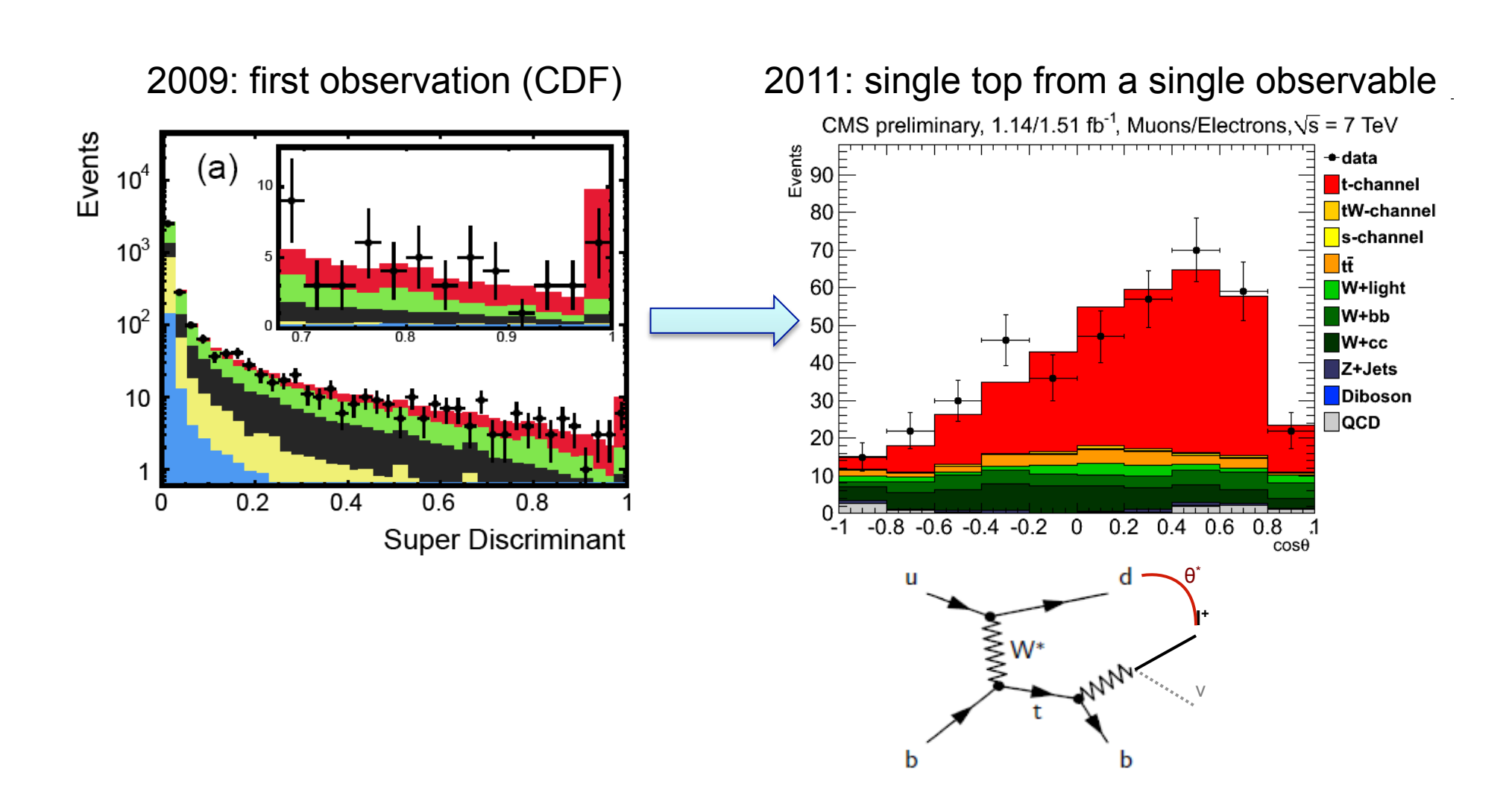
Correlazioni di Spin in tt, asimmetria FB, polarizzazione del top in single top



Misura di precisione della massa del top, misura ΔM (test CPT) Misura delle proprieta' del top: rapporti di decadimento, carica, width, accoppiamenti, elicita' del W, misura di Vtb

Nuova Fisica nel decadimento del top (FCNC, etc.)

TOP nel 2012: un salto in statistica Esempio - single top production

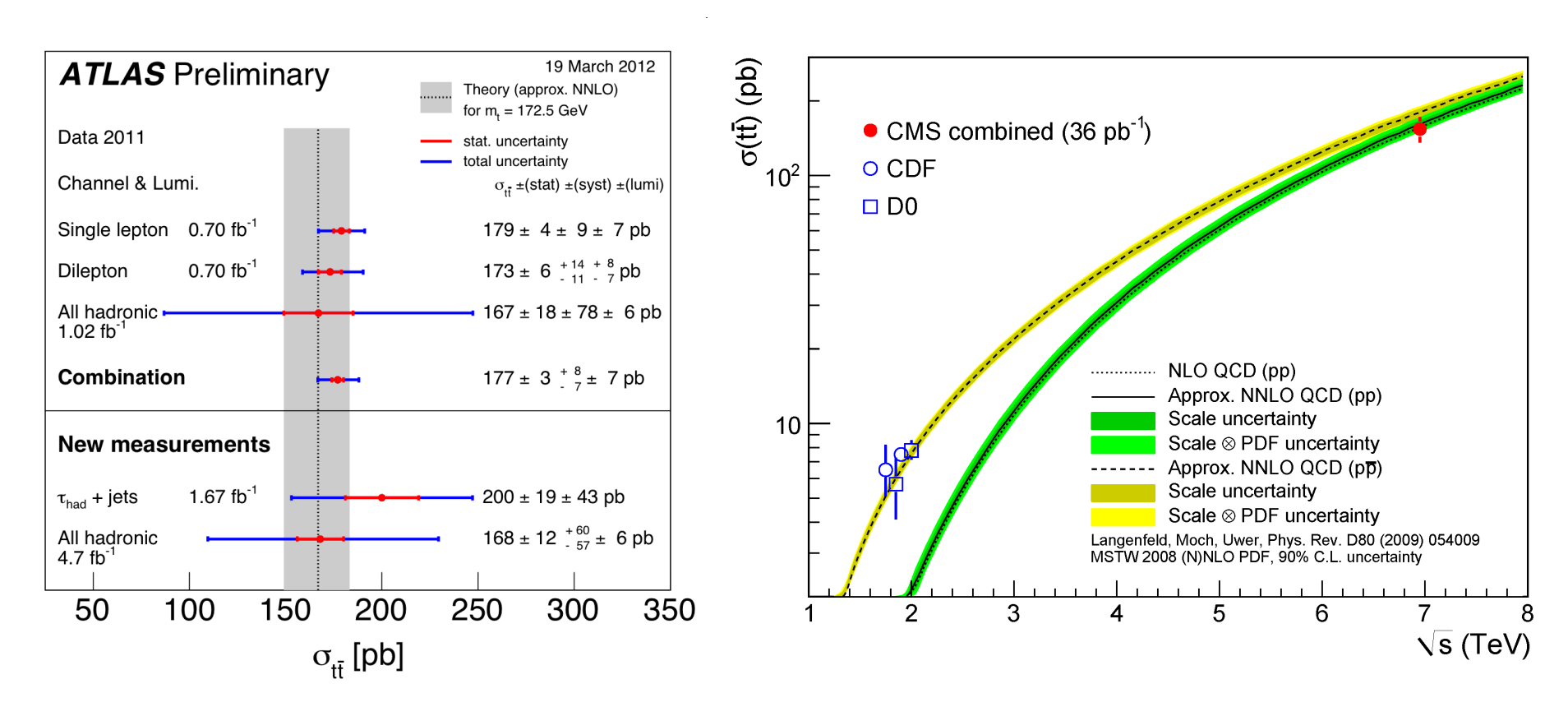


Ruolo della fisica del top nel 2012 (nell'anno dell'Higgs)

- Meccanismo di produzione dominante a LHC, ttbar con gluon-gluon fusion
 - stesso per l'Higgs
- E' il fermione con il piu' alto accoppiamento di Yukawa all'Higgs
 - misura delle proprieta' del top
- Misura della massa del W, top e Higgs
 - test molto significativo del modello standard
- Finestra per nuova fisica nella terza generazione e oltre

La sezione d'urto totale ttbar

• e' in buon accordo con la teoria (approx NNLO QCD ~ 6-7 %) ...



•... ma la precisione sperimentale a 7 e 8 TeV sara' presto piu' precisa delle predizioni, visto il miglioramento della conoscenza della luminosita' ~ 2.2 % (!!)

Leptoni+jets e dileptoni (con e, μ)

all-hadronic

т + jets

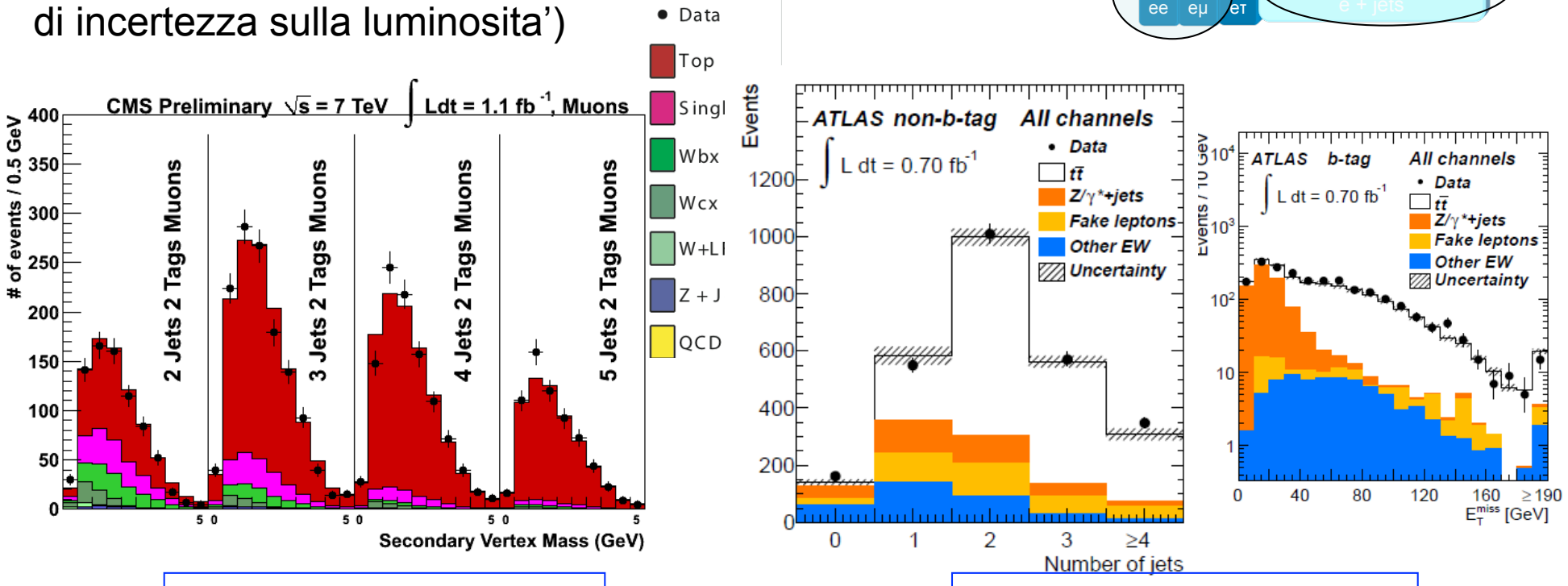
μт тт

ATLAS arXiv:1202.4892

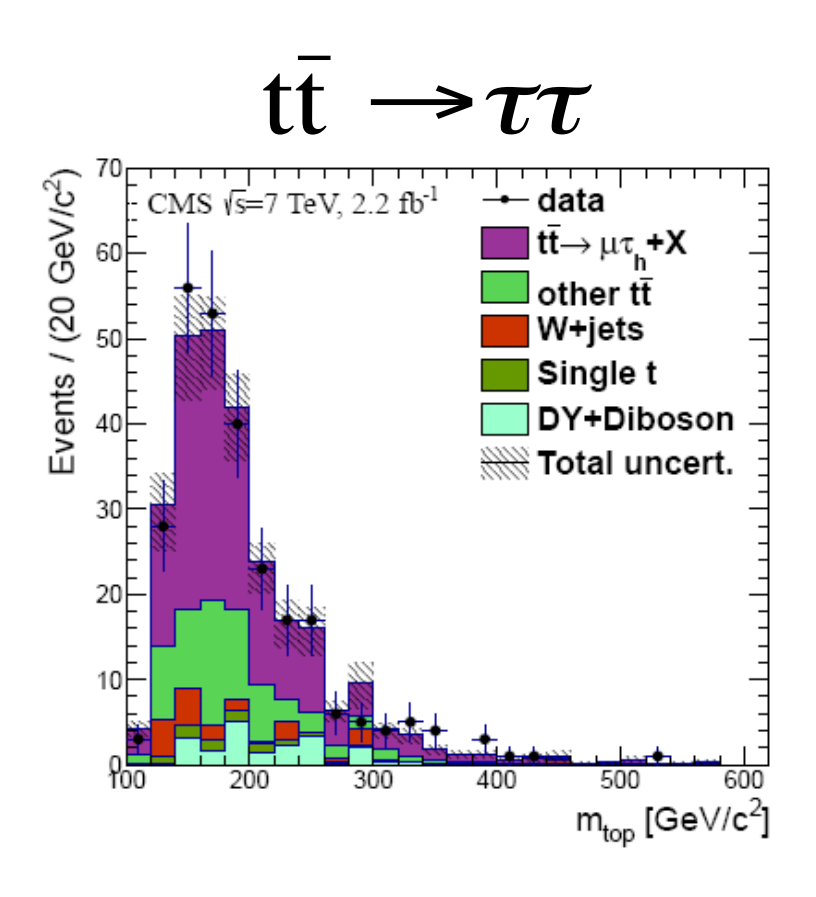
• Il controllo dei fondi e' molto buono grazie alla categorizzazione in jet, l'uso del b tagging e il controllo in situ della jet-energy scale

• La sfida per il 2012 (8 TeV) sara' il controllo del trigger e pileup, ma ci possiamo aspettare misure molto precise (qualche percento, grazie alla riduzione di incertezza sulla luminosita')

CMS PAS TOP-11-003

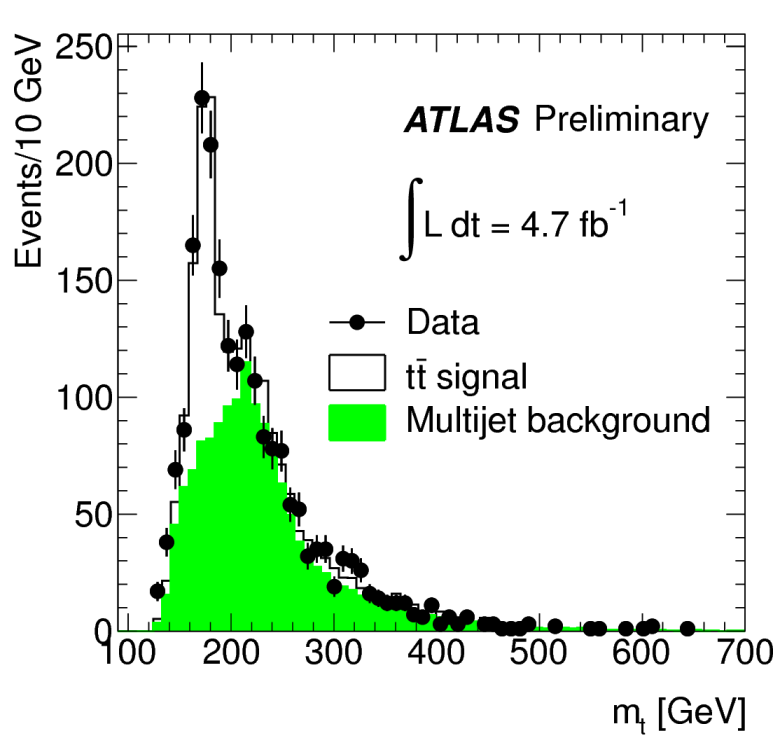


Anche i canali piu' difficili sono esplorati in dettaglio



CMS arXiv:1203.6810





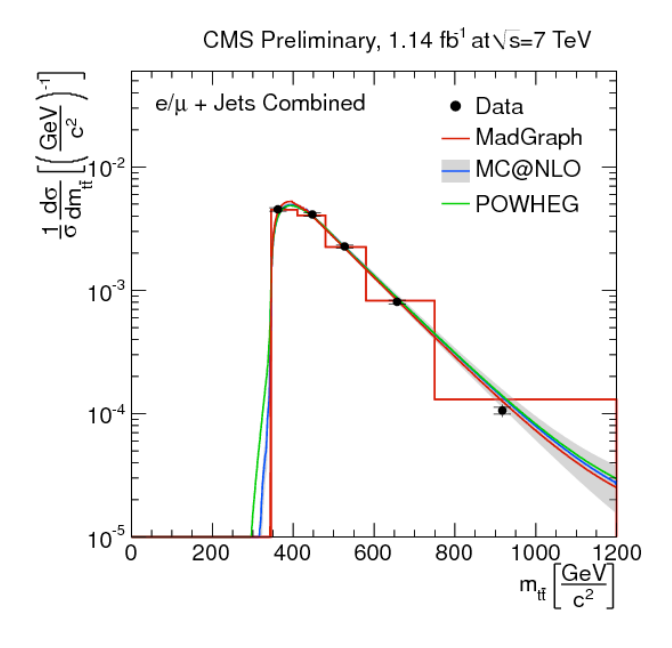
ATLAS CONF-2012-031

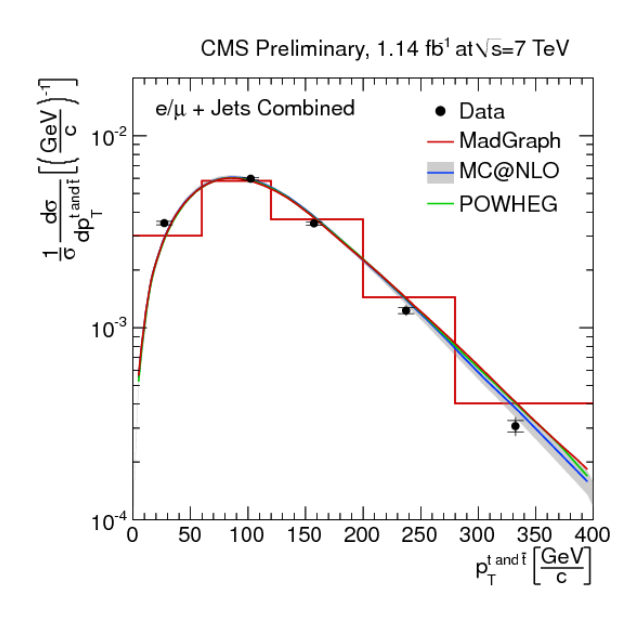
Verso sezioni d'urto differenziali $\sqrt{\sigma_{t\bar{t}}}$ \overline{dX}

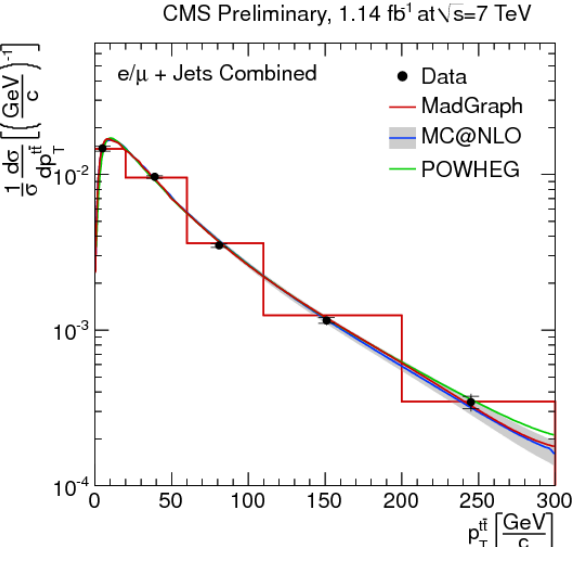
 $\boxed{\frac{1}{\sigma_{t\bar{t}}} \frac{d\sigma_{t\bar{t}}}{dX}}$

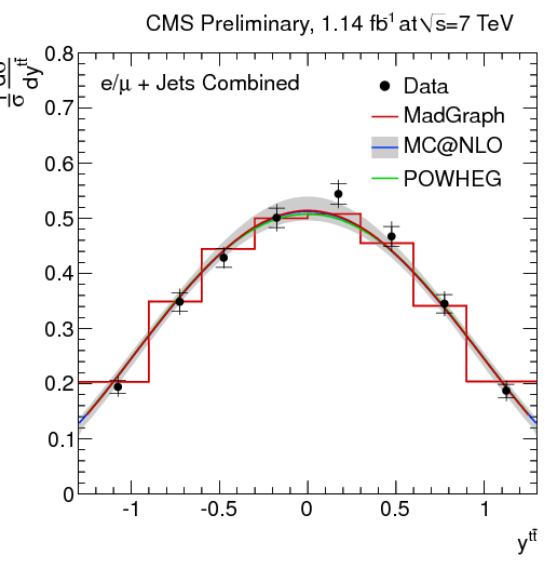
•Le chiavi:

- Ricostruzione cinematica
- Unfolding (per ora a parton level, discussioni con la comunita' teorica su una definizione del top a particle level)





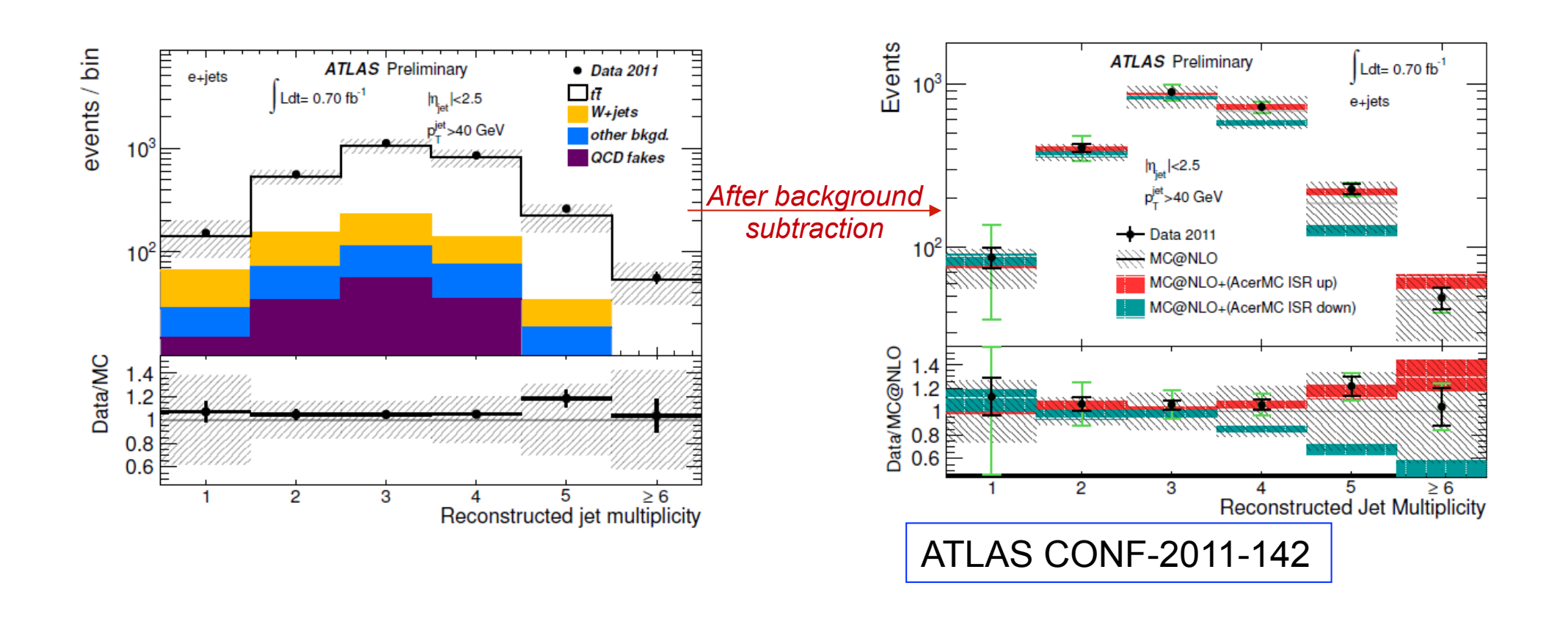




CMS PAS TOP-11-013

ttbar e jet addizionali

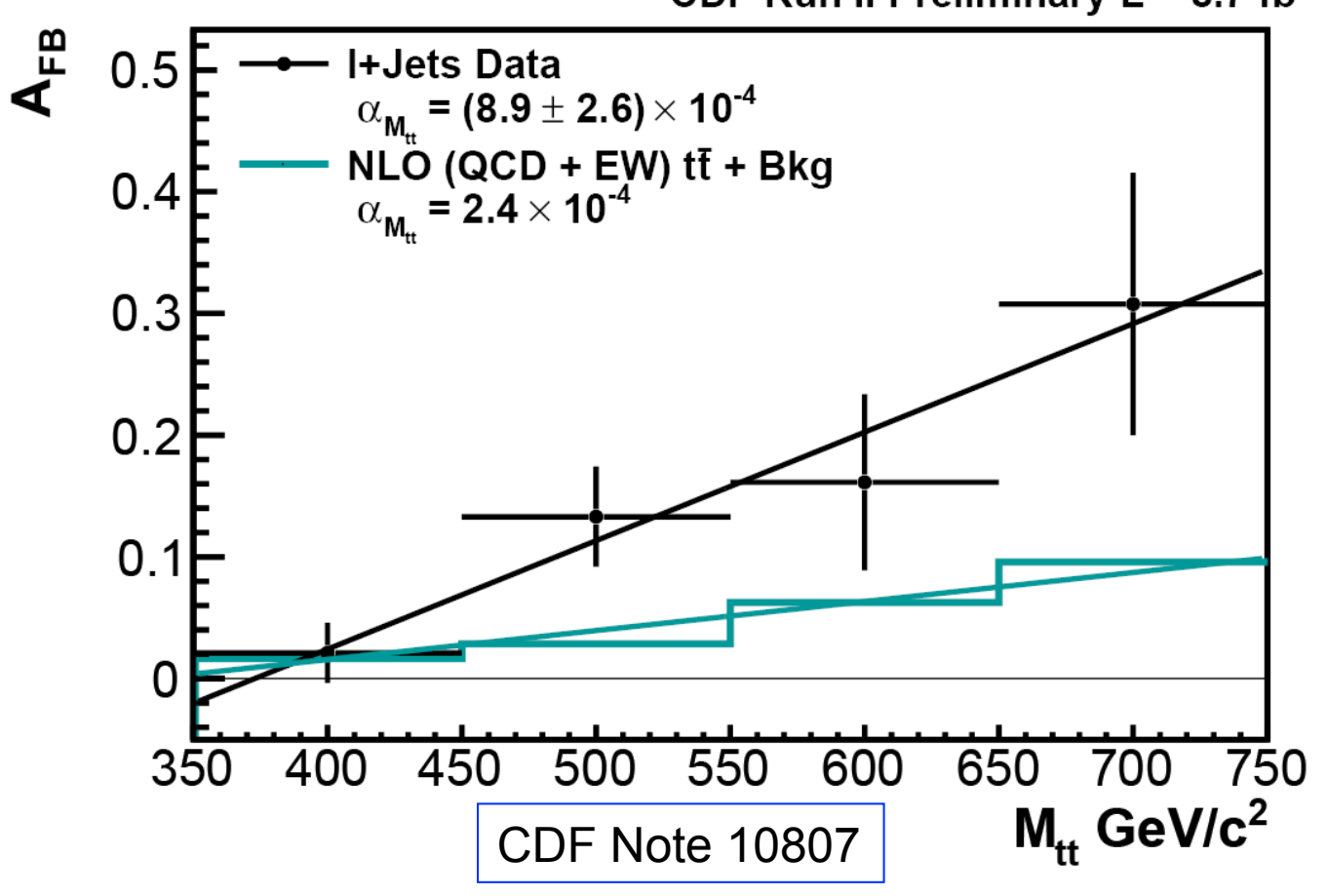
 Si e' aperta la possibilita' di effettuare studi dettagliati del pattern di radiazione QCD e di topologie importanti per nuovi fenomeni (ttH)



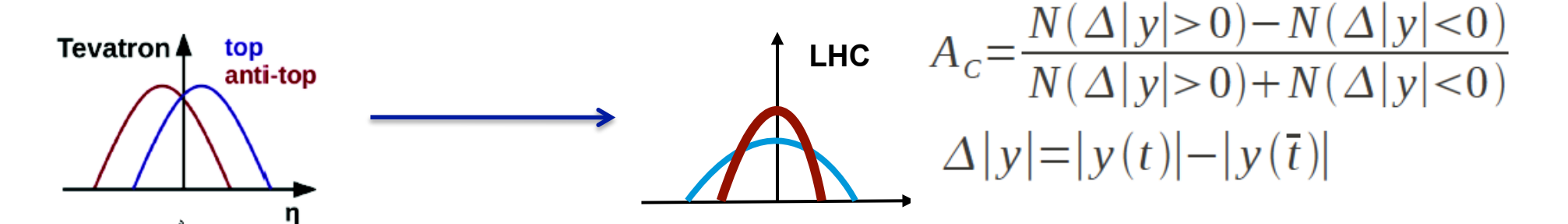
Non tutto torna ... A_{FB} in $p\bar{p}$ $q\bar{q} \rightarrow t\bar{t}$

 Asimmetria SM da interferenza (higher order QCD ~ 7%)

CDF Run II Preliminary L = 8.7 fb⁻¹

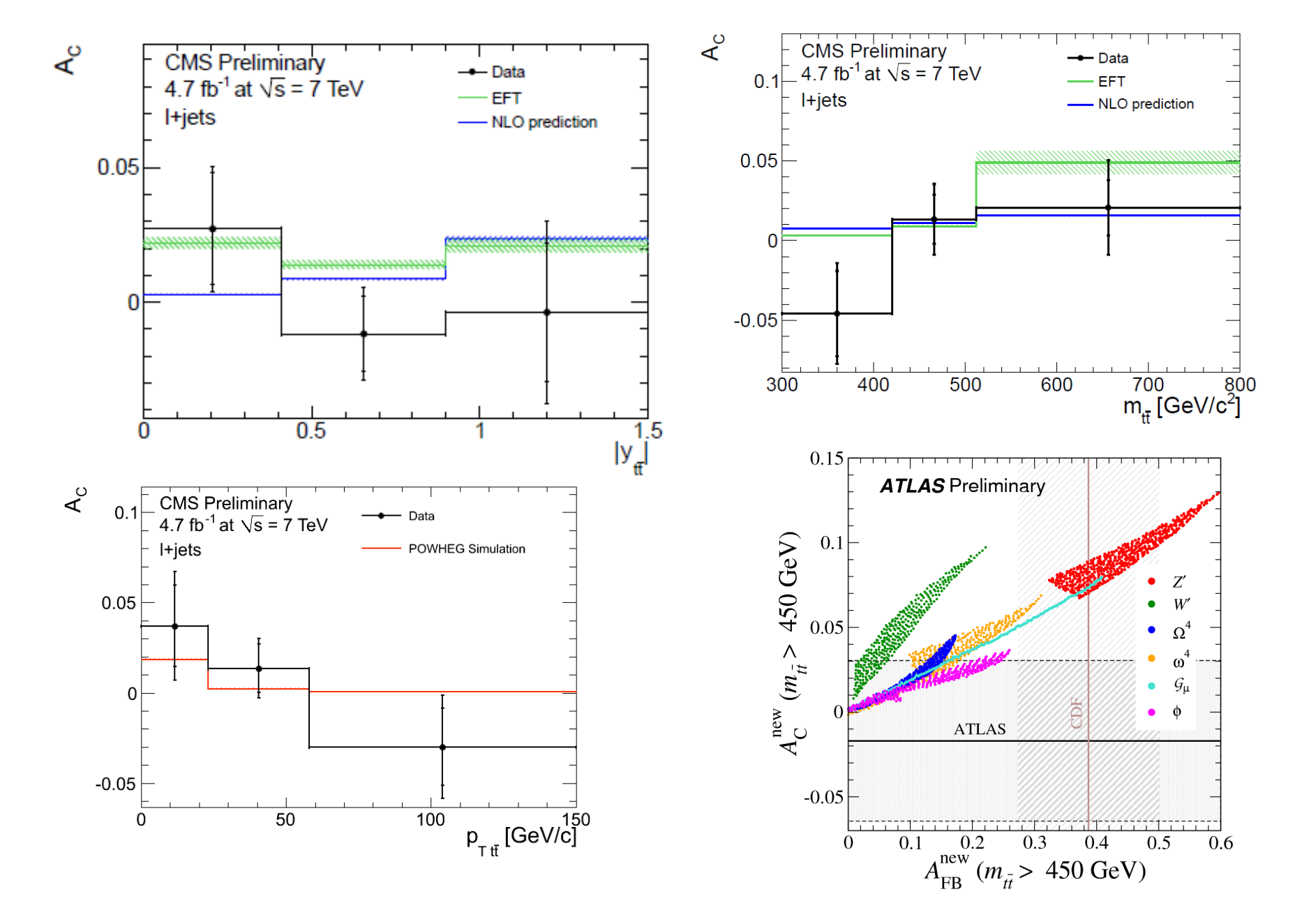


A_{FB} a LHC → charge asymmetry



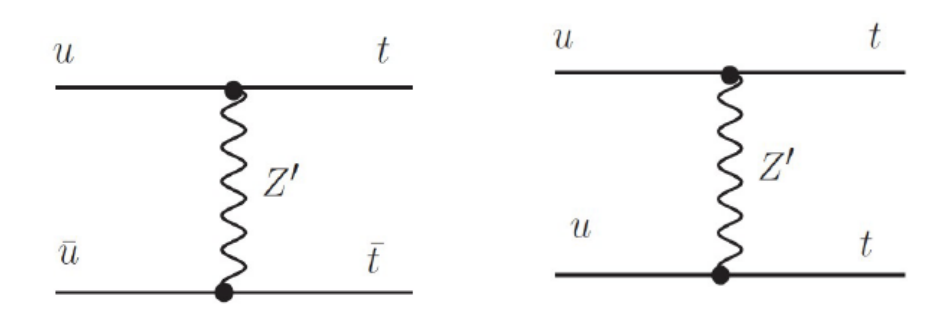
- L'asimmetria top / anti-top in rapidita' a LHC puo' esistere per la produzione da quark-antiquark annihilation, la produzione gluon-gluon fusion, dominante, e' intrinsecamente simmetrica
- Importante a LHC lo studio differenziale dell'asimmetria, per estrarre la componente eventualmente dovuta a nuova fisica
 - •La somma delle rapidita' di t e tbar separa la componente quark-antiquark da gluon-gluon fusion
 - •La massa invariante del sistema ttbar e' sensibile a nuovi stati pesanti
 - •Il momento trasverso del sistema ttbar e' sensibile all'interferenza da radiazione nello stato iniziale (asimmetria da interferenza)
- •Si possono utilizzare tecniche di unfolding per ottenere sezioni d'urto differenziali a particle level oppure confrontare la selezione a modelli specifici

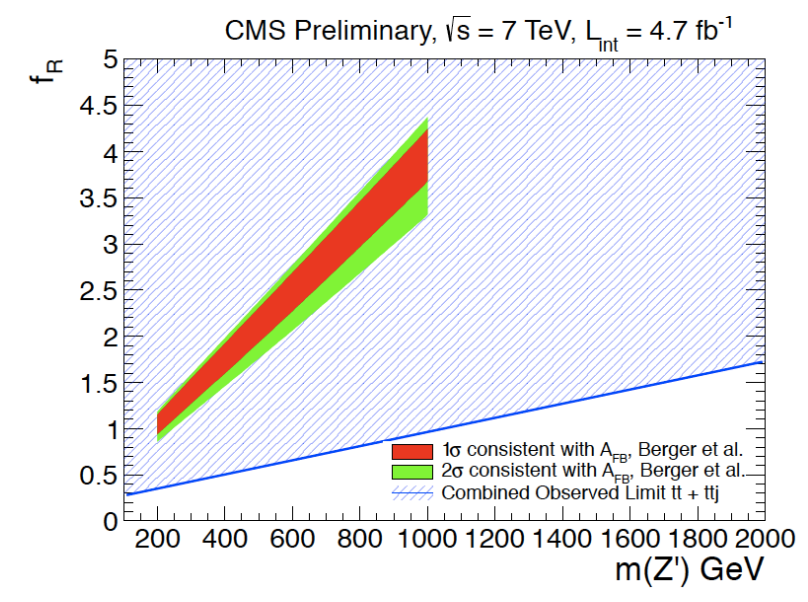
Charge asymmetry a LHC

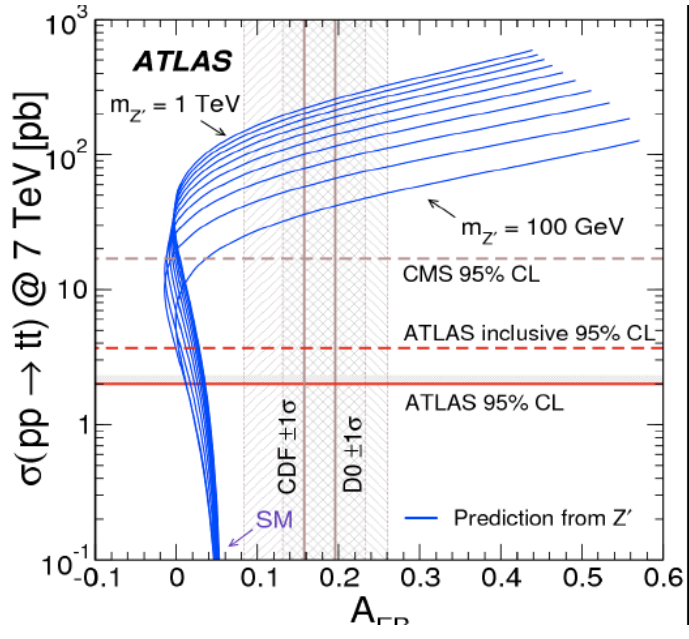


Search for same-sign top and A_{FB}

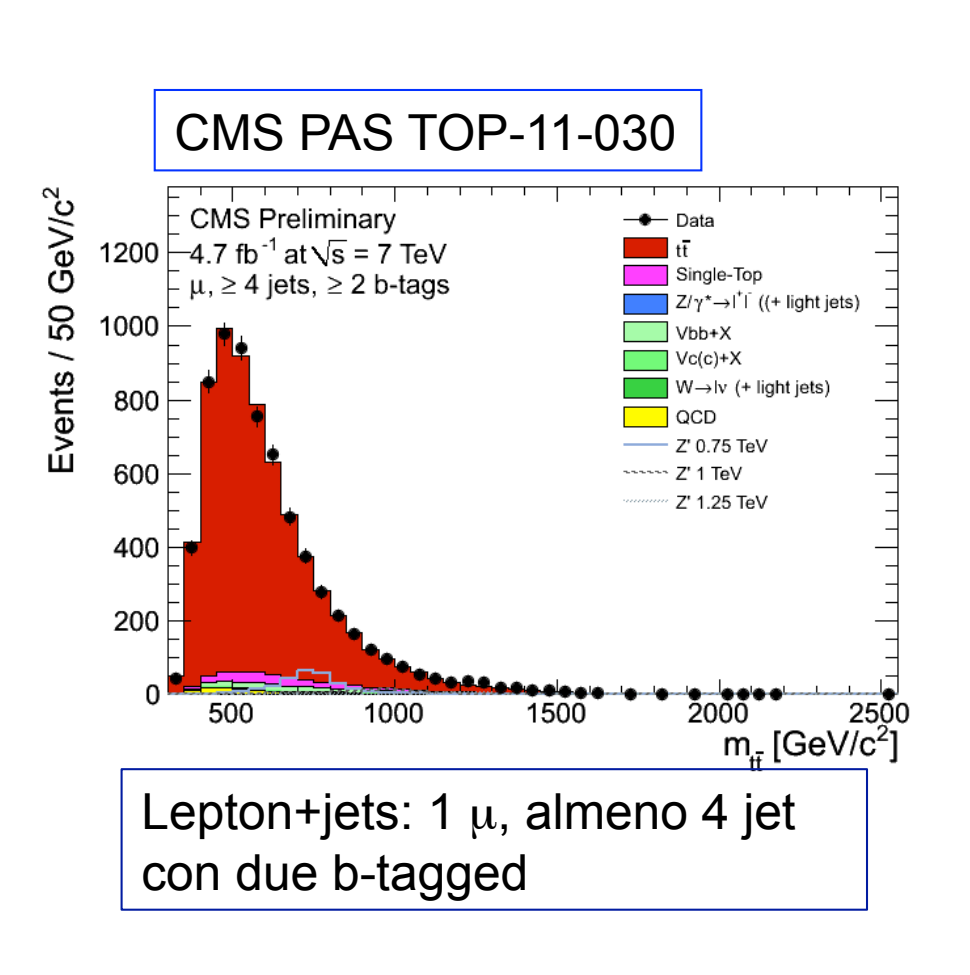
- Una possibile spiegazione dell'asimmetria osservata al Tevatron riguarda lo scambio di Z' in canale t
- Lo stesso meccanismo porterebbe alla produzione di coppie di top dello stesso segno a LHC: tale meccanismo sembra escluso

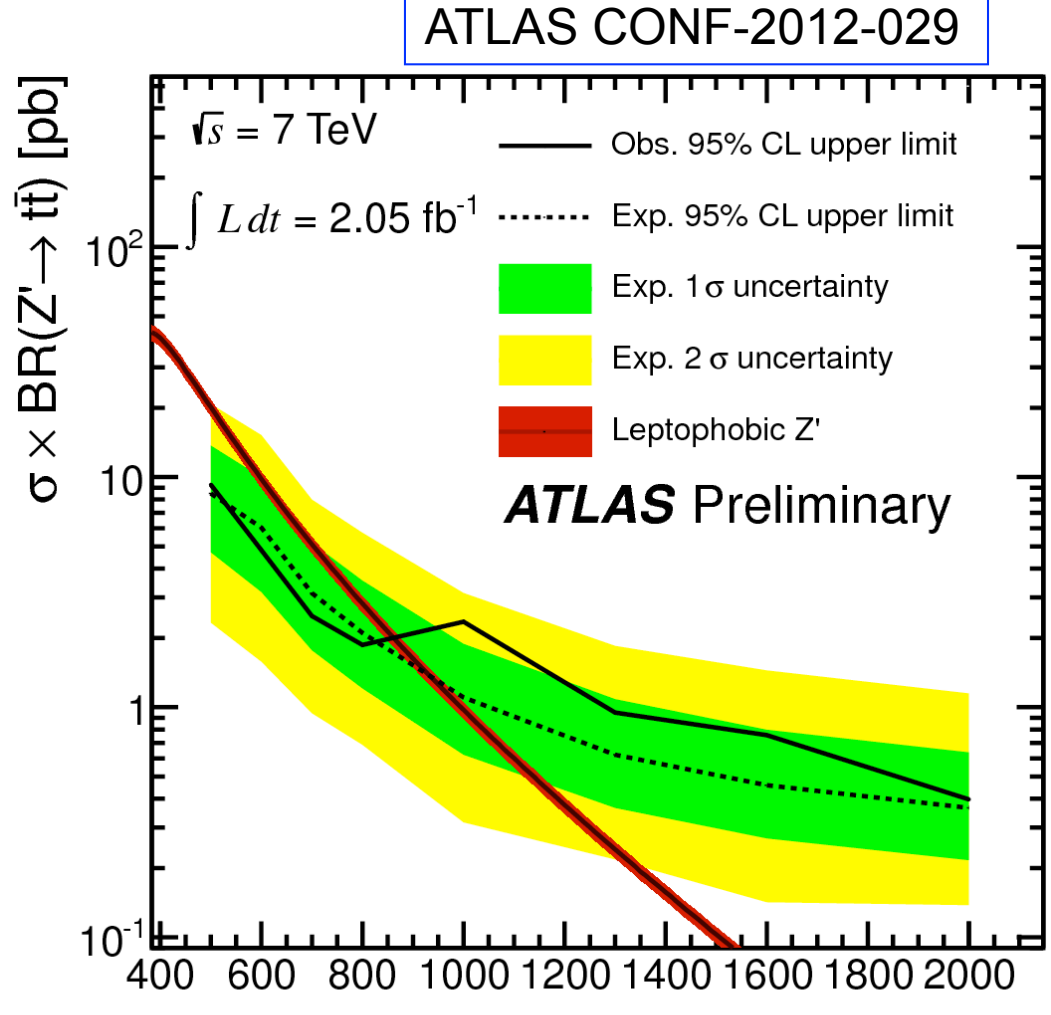






Ricerca diretta di risonanze nel sistema ttbar



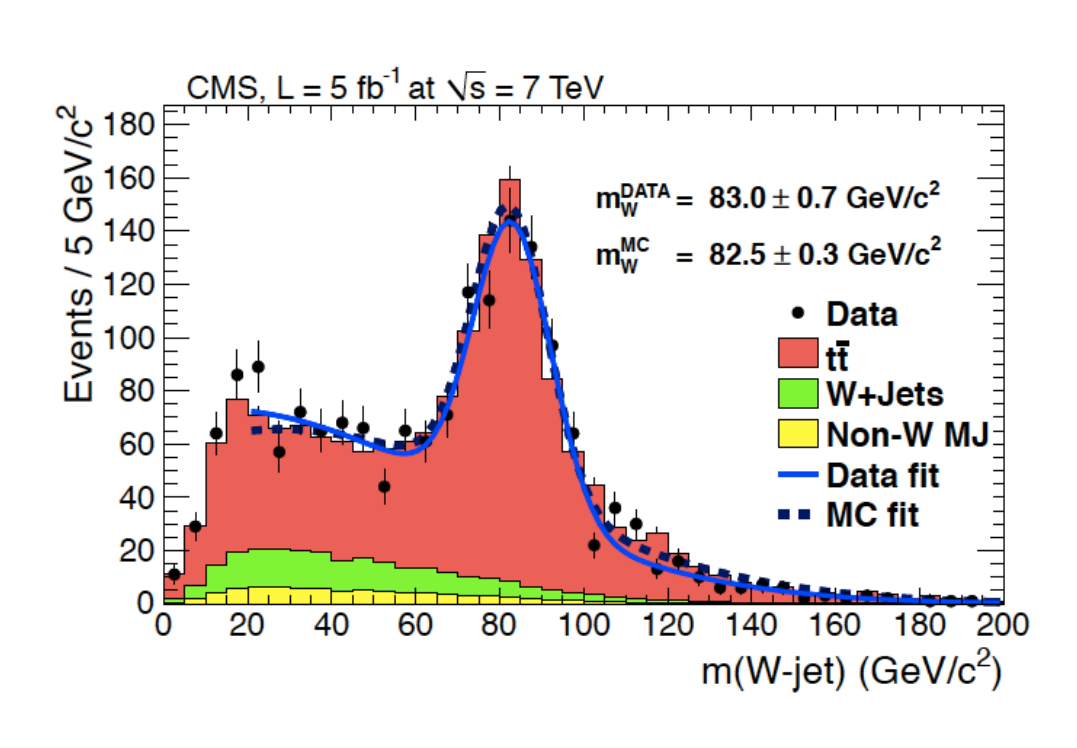


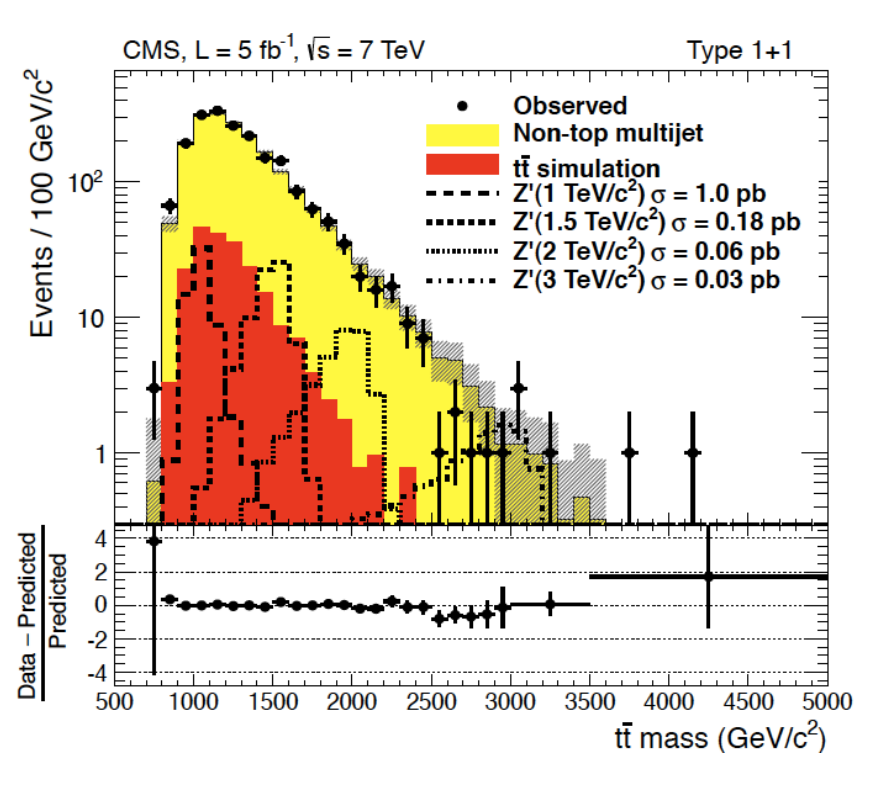
Z' mass [GeV]

Ricerca diretta di risonanze con tecniche di jet pruning: sottostrutture e Boosted top

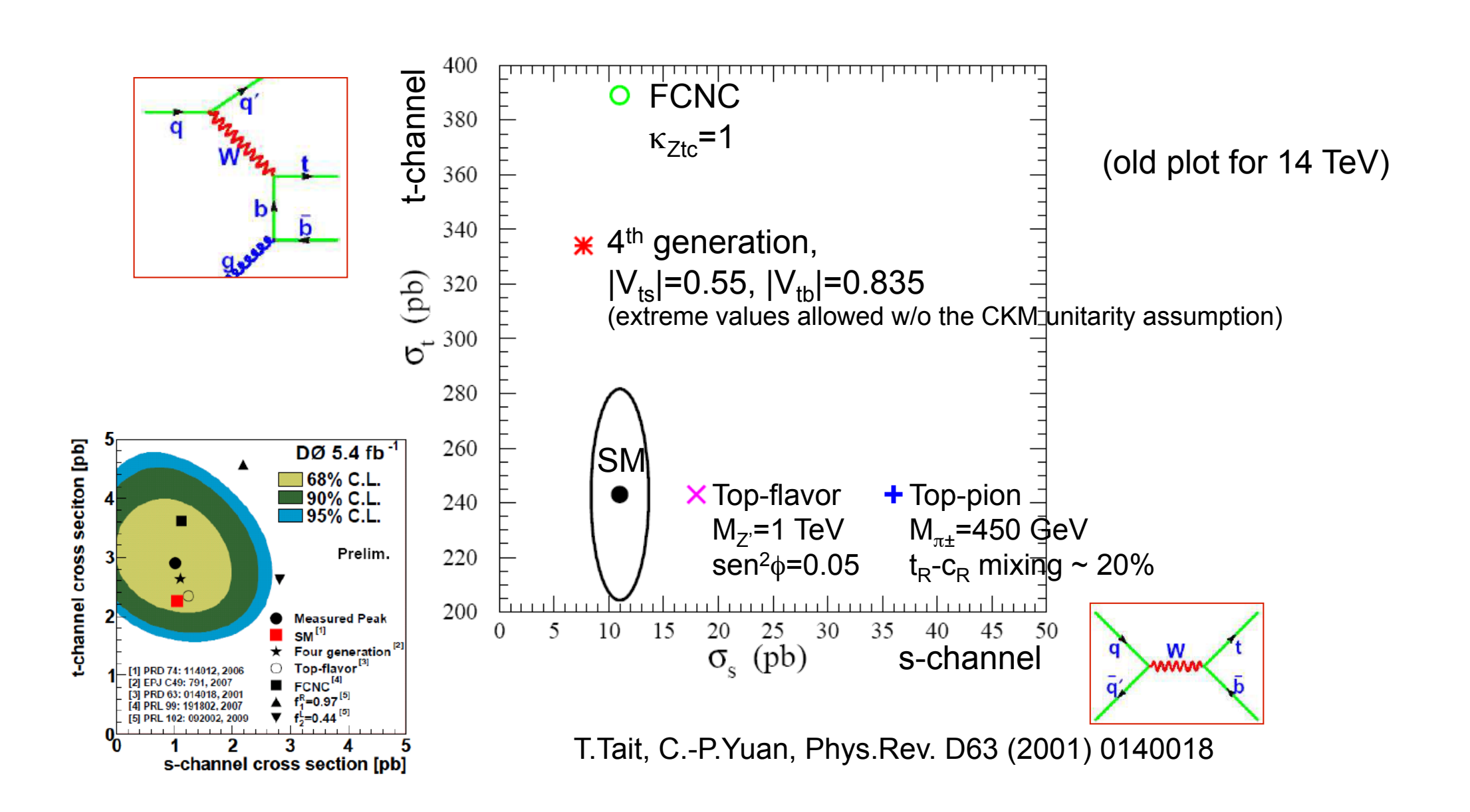
CMS arXiv1204.2488 Uscito oggi!

Search for Anomalous t-tbar Production in the Highly-Boosted All-Hadronic Final State





Sezioni d'urto single top e fisica BSM

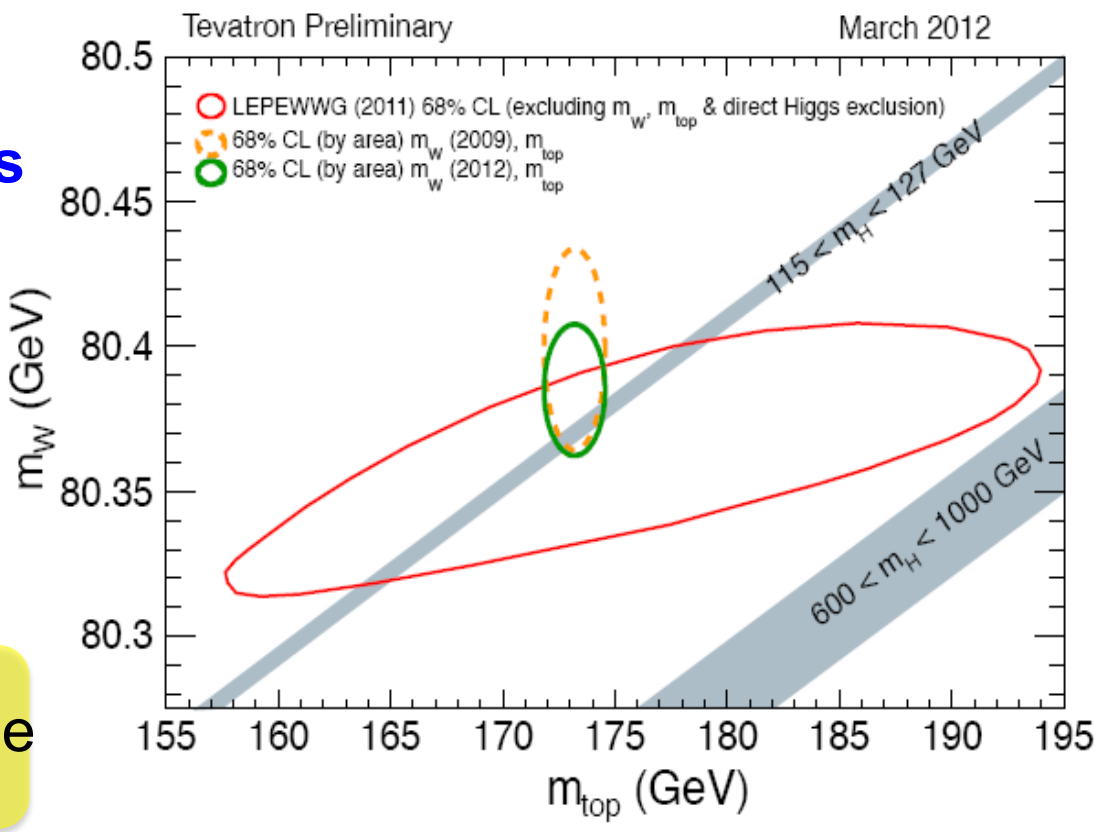


Il ruolo della massa del top nel 2012 (previsioni sulla massa dell'Higgs)

- Il classico plot W-top plot
- dopo la scoperto sara' visto in luce diversa

 Consistenza con la massa

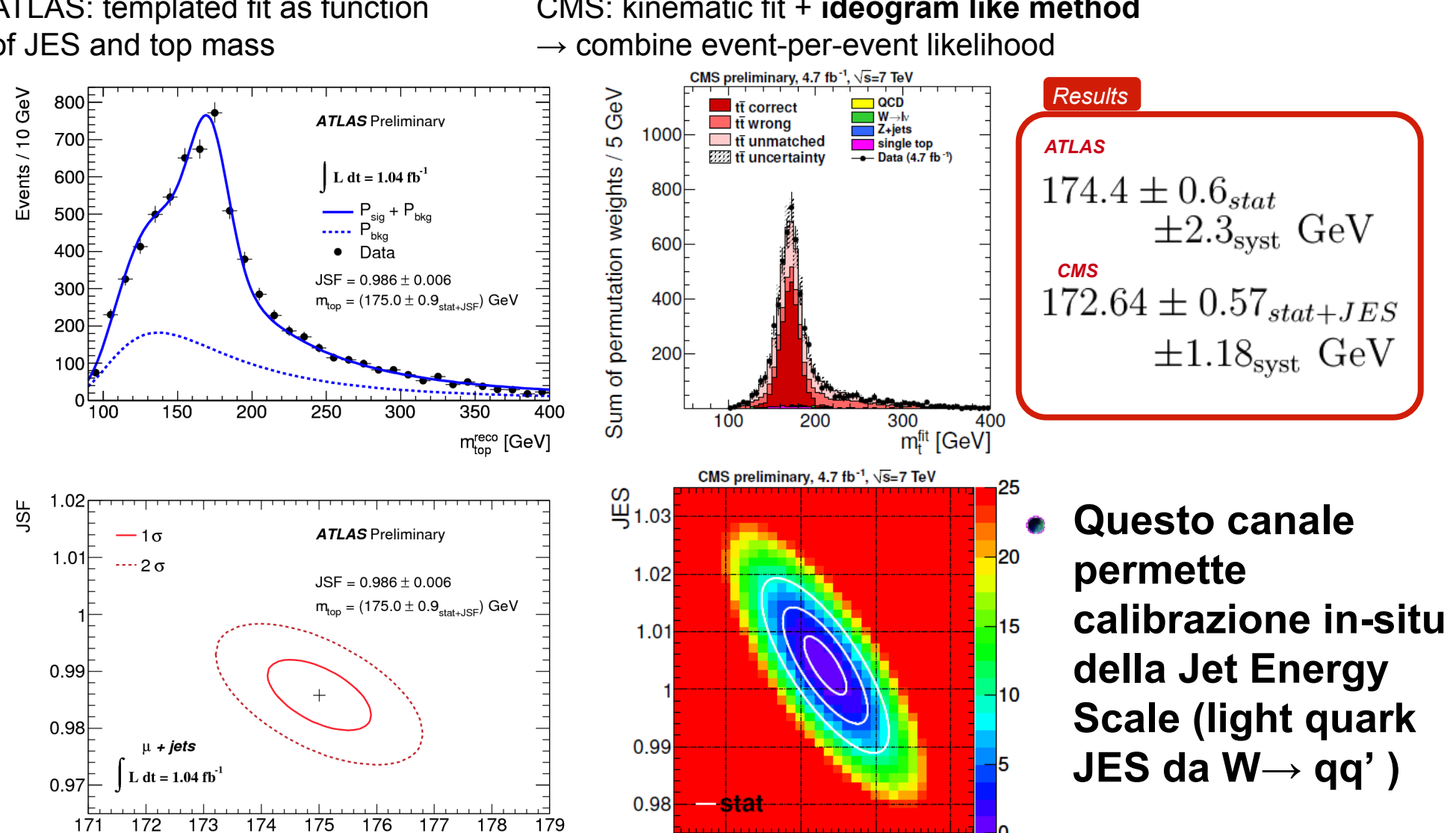
 Consistenza con la massa
- massa del massa del W al **Tevatron**
- Siamo sicuri del valore centrale della massa del top e della sua interpretazione?



Massa del top da LHC gia' molto precisa (esempio dal canale Lepton+jets)

ATLAS: templated fit as function of JES and top mass

CMS: kinematic fit + ideogram like method



170

m_{top} [GeV]

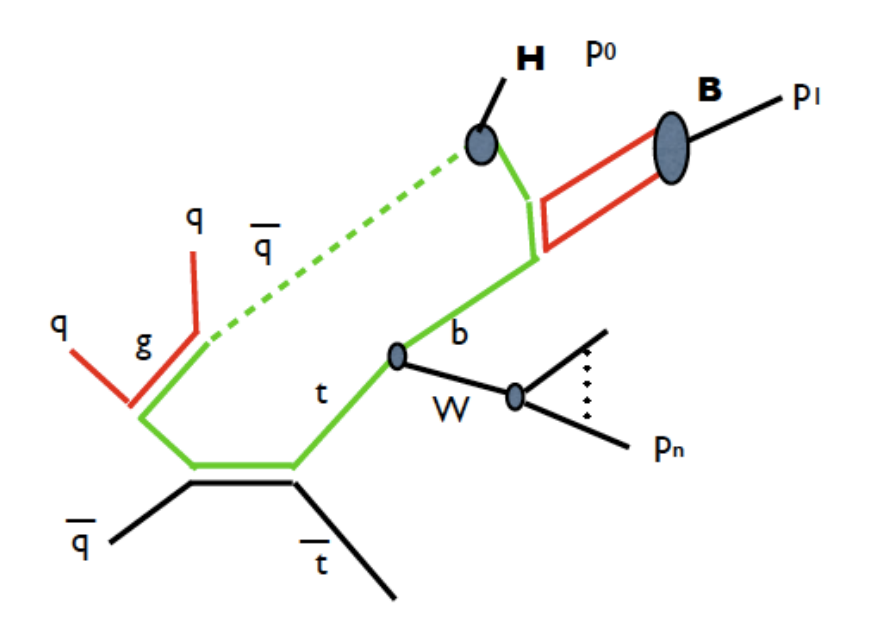
172

174

176

m_t [GeV]

Definizione massa del top e riconnessione di colore

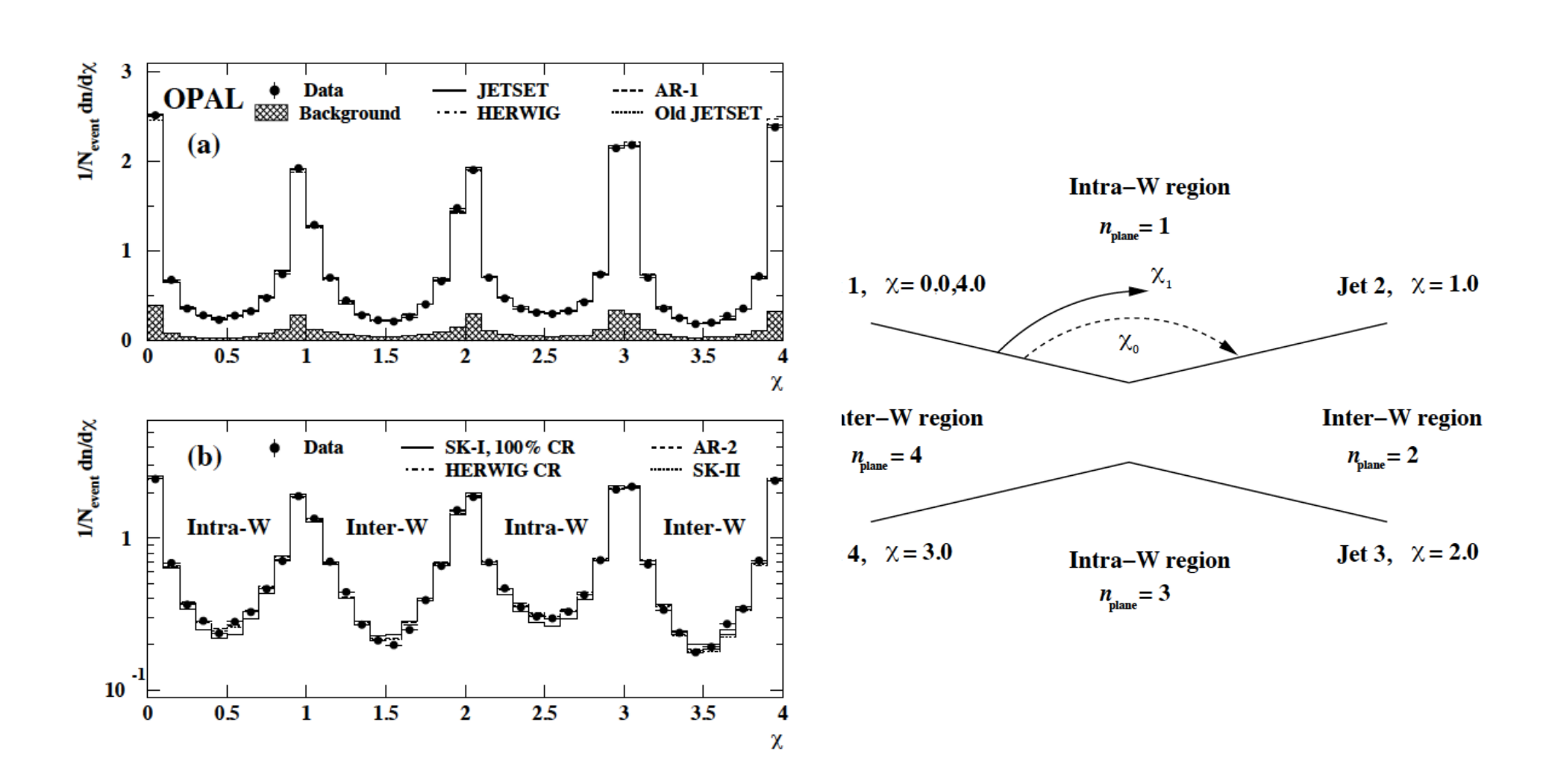


- 1. La pole mass di una particella colorata ha una incertezza intrinseca $\approx \Lambda_{\rm OCD}$
- 2. La ricostruzione cinematica del 4-momento del top dai suoi prodotti di decadimento introduce una incertezza dovuta alla riconnessione di colore, effetto non-perturbativo, $\approx \Lambda_{\rm OCD}$ qualche studio indica ≈ 500 MeV

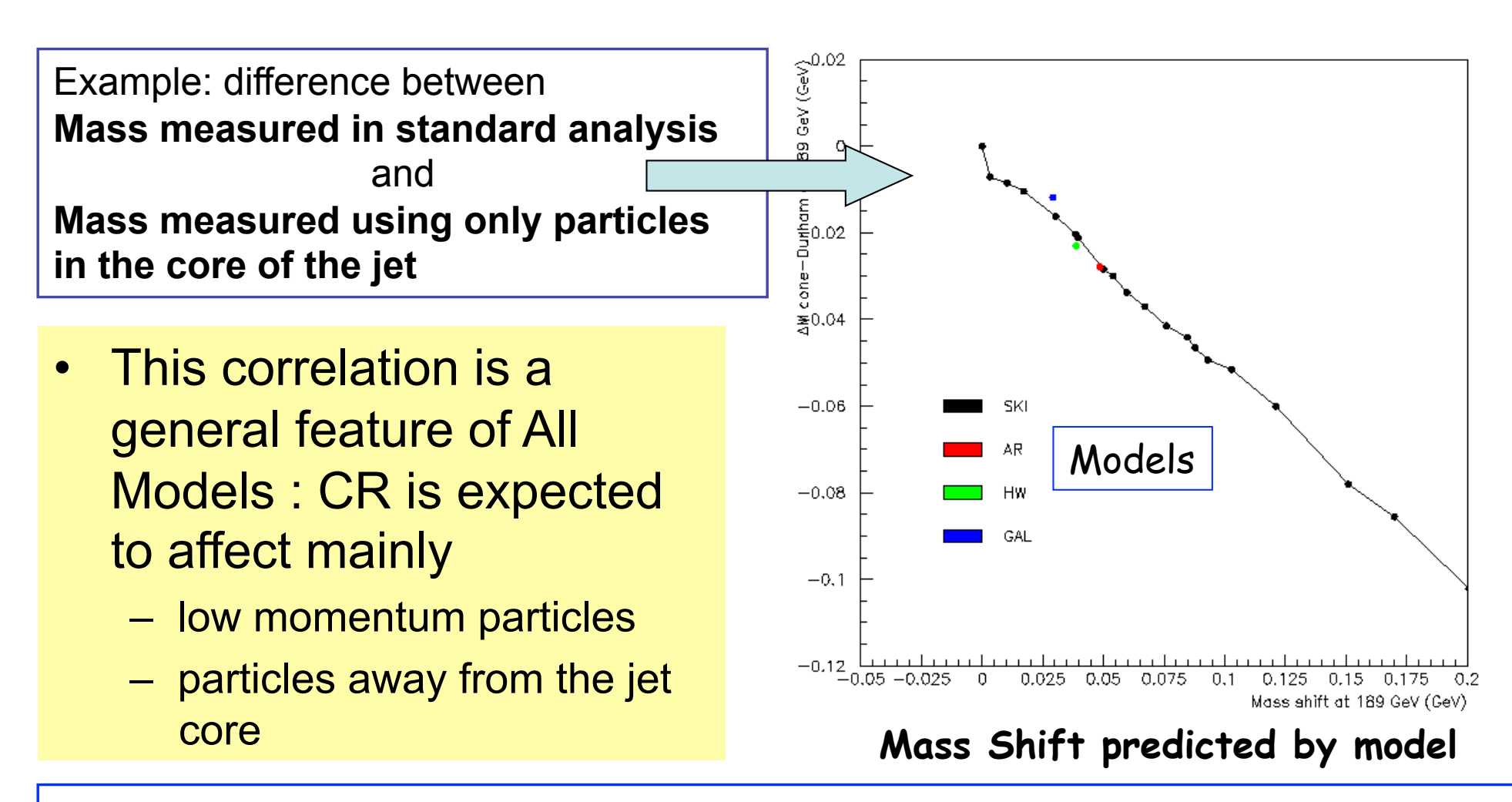
Incertezza dovuta alla Riconnessione di Colore

- Attualmente si usa un toy model (D. Wicke, P.Skands, EPJC 52 (2007) 133, arXiv: 0807.3248)
- Il modello ha un indiretto supporto dal tuning dei MC sui dati di molteplicita' e studi di underlying event a LHC
- L'esperienza a LEP (riconnessione di colore nella misura della massa del W nel canale totalmente adronico) ci insegna che i toy models sono solo il primo passo per studiare la riconnessione di colore dai dati

Riconnessione di Colore a LEP



Final LEP result: Colour Rec. constrained by Mass variation when soft particles are excluded



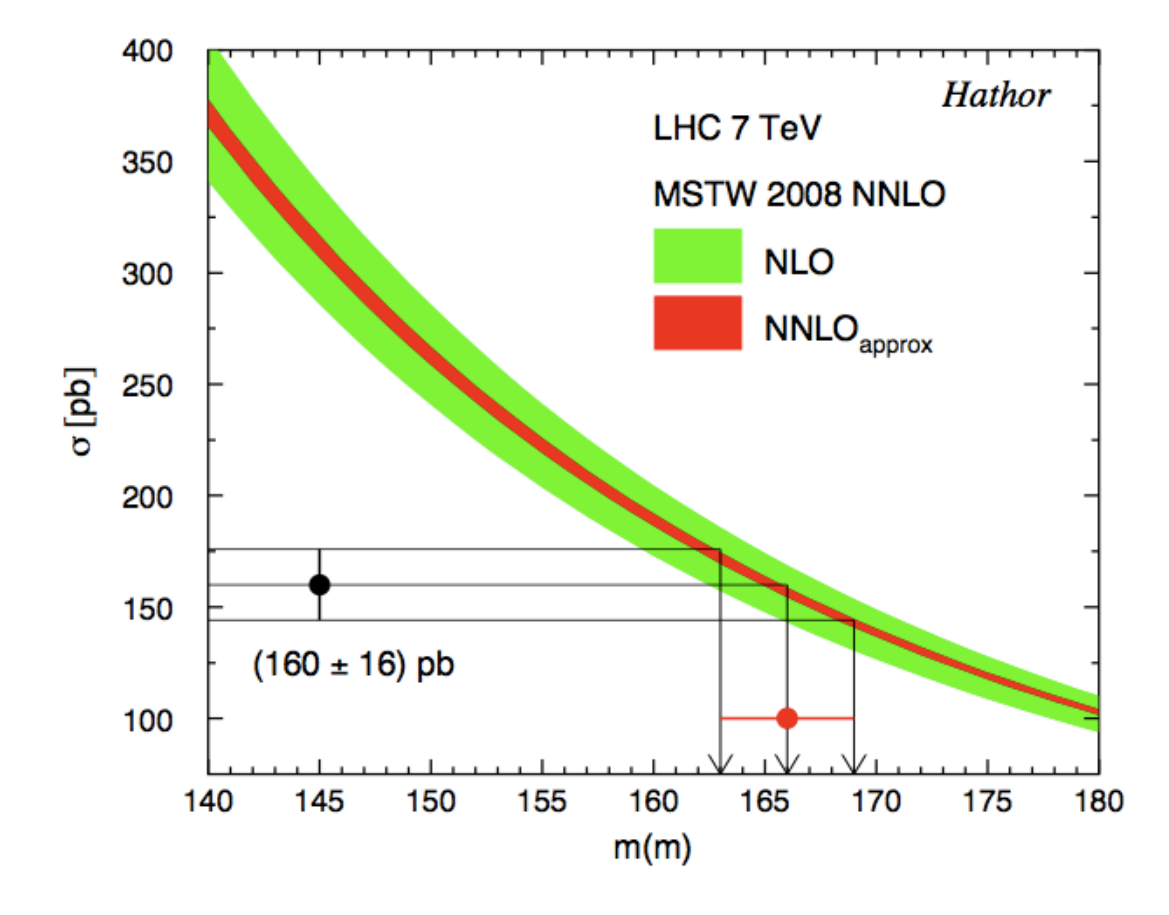
 By studying Mass Stability (or Measuring the W mass only with particles in the jet core) expect to reduce CR Systematic Error to ~ 50 MeV

Una proposta per mitigare il problema

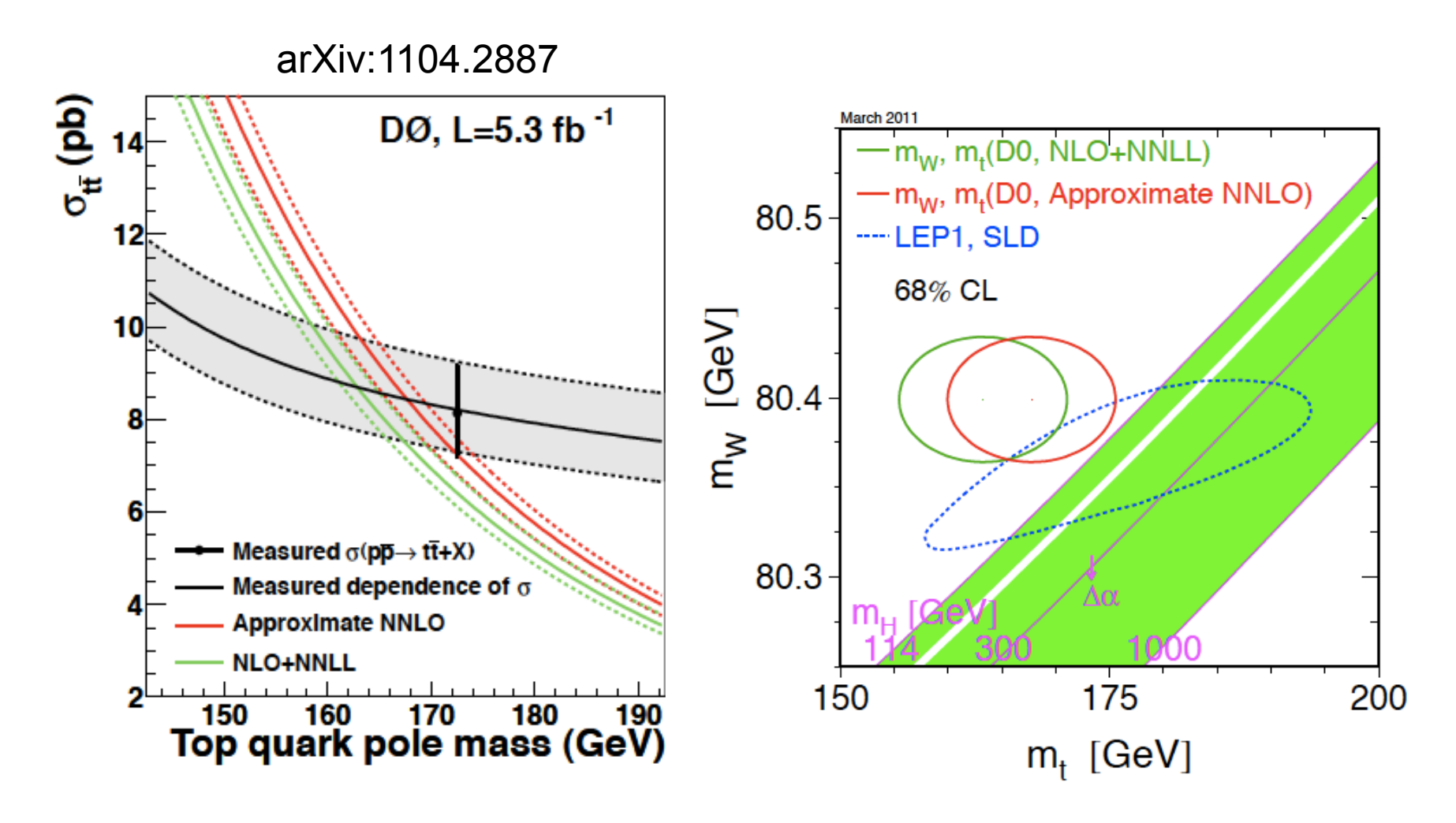
S. Moch, P. Uwer Phys.Rev. D80 (2009) 054009

 Misurare la massa dalla sezione d'urto, usando un shortdistance mass scheme (MS) per poi estrapolare alla pole

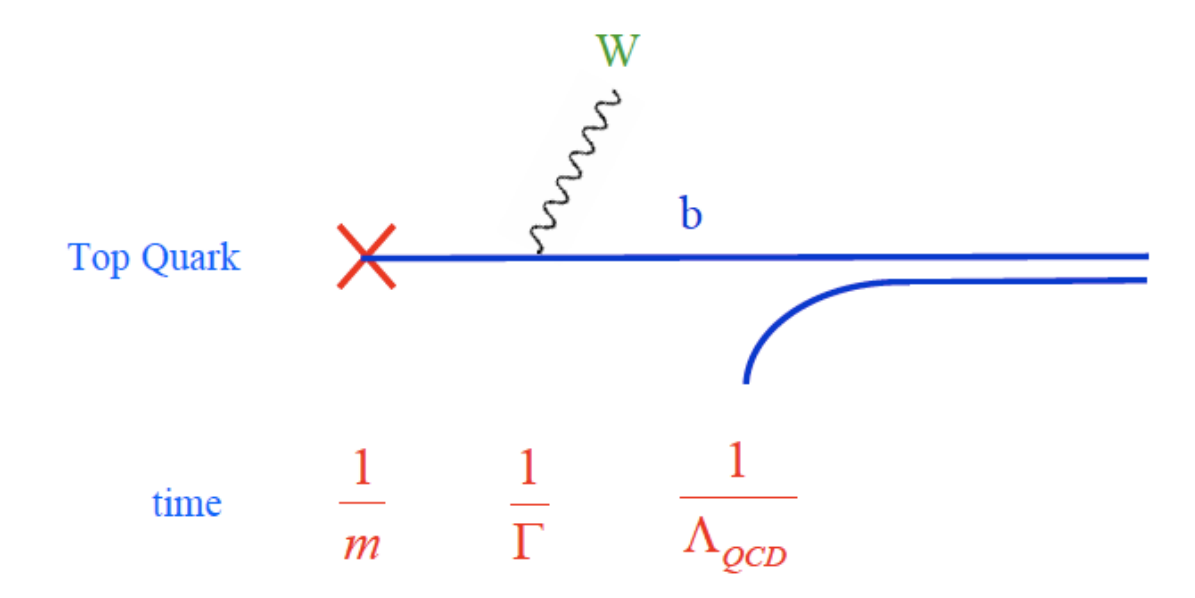
mass



Funziona, ma l'errore su m_top diventa grande



Possiamo fare di meglio ?



- · La riconnessione di colore e' legata al b jet
- Ricostruzione del b-jet meno sensibile agli effetti di riconnessione, "core of the jet", less soft particles, etc. come per il WW nel canale adronico a LEP?
- 2. Usare meglio l'informazione dal W?

Il futuro prossimo

Iniziamo ad avere dati a 8 TeV ☺

Process	σ(7 TeV) [pb]	σ(8 TeV) [pb]	σ(8)/ σ(7)
Top pair	~160	~232	~1.5
Single top t-ch	~65	~83	~1.3
Single top tW	~15.6	~23	~1.5
Single top s-ch	~4.6	~5.5	~1.2

 Ottime prospettive (e tanto lavoro ...) per la fisica del top